

III-45 爆破に伴なう電気現象について

関西大學工學部 正員 谷口 敏一郎

タ 幸太郎

1. 序

爆薬を爆発させたとき、これに伴なつて電気的な現象が生ずることは H. Kolsky⁽¹⁾ (1954) によつて発見された。高倉⁽²⁾は数 10 MHz の高周波電流を観測し、田中⁽³⁾は爆発時の高溫・高圧下における電離した気体のプラズマによる説明を試みている。吉住⁽⁴⁾は大爆破において大地の電気的測定を行なつて、この現象が爆破の確認に利用される可能性のあることを報じている。以上のような断片的な報告がなされているが、この種の研究は実験の困難さや危険性のためかあまり広く行なわれていないのが現状である。筆者らは実用面における利用の立場から、その根據を明らかにする目的で 2, 3 の基礎的な実験を行なつた。

2. 実験方法と結果

実験室における装置の概略は Fig. 1 に示されるように、電気雷管による爆発の電気現象をピックアップコイルで検知しようというものである。この方法の採用によつて、探針法の電離した気体が直接アローフ触れないかぎり電気的現象が現われないという難点を避けることができる。使用した雷管は日本化薬製の 6 号電気雷管で、起爆薬 0.42g, 溶装薬 0.45g が装填されている。ピックアップコイルは 1.6 mm 中のエナメル線を直径 11.5 cm で、30, 45, 50 回まいたものを 3 種つくり比較実験を行なつた。コイルに誘起された起電力は増幅器を通してメモリスコープで観察される。Fig. 2 に代表的な観測波形が示されている。現象波形は振動的で最初の 1, 2 の波が顕著であるが、その後は急激に減衰する。振動の周波数は 1.8 kHz 程度であり、コイルと導線がつくる自己共振周波数は 100 kHz 以上であることから、この波形は現象そのままの振動波形と考えることができる。

Table 1 は巻数の異なる 3 種のコイルで観測した波

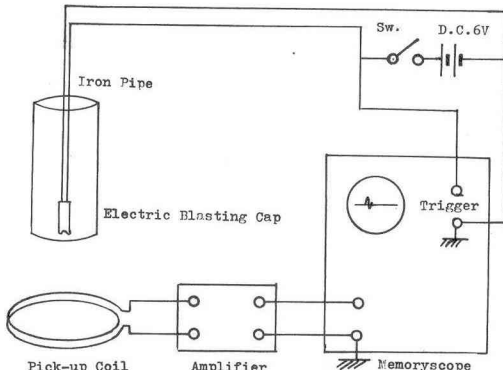


Fig. 1 Schematic diagram of the experiments

Table 1

Exp. No.	N (Turns)	e (mV)	f (kHz)	H (AT/m)
1	30	1.04	1.75	0.24
2	30	1.00	1.75	0.23
3	30	1.08	1.75	0.25
4	45	1.42	1.80	0.21
5	45	1.50	1.80	0.23
6	50	1.67	1.80	0.23
7	50	1.67	1.80	0.23

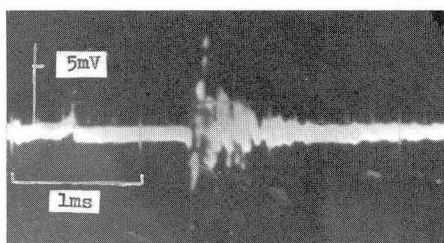


Fig. 2 Typical oscilloscope of explosion in the air

について、コイル端子に生ずるピーク値 e 、ならびに周波数 f をよみとて表示したものである。また、この起電力は雷管の爆発によつて生ずる文書磁界によるものであるとし、

$$e = 2\pi f \mu_0 N A H. \quad \text{ただし, } \mu_0 = 4\pi \times 10^{-7} \text{ henry/m}, \quad N; \text{コイルの巻数},$$

の関係から計算した H の値を示す $A = \pi a^2, a; \text{コイルの半径}, H; \text{磁界の強さ AT/m}$ ている。この結果から 6 号雷管によって生ずる磁界の強さは、20 cm ほなれたコイル面において約 0.23 AT/m とほぼ一定の値を示すことがわかる。この磁界が、假りに雷管の位置にあひた軸方向の磁気双曲子 M によるものとすれば、 $M = 0.15 \times 10^{-7} \text{ weber} \cdot \text{m}$ となる。

Fig.3 は 6 号瞬発雷管と 10 ms の
遅延時間もつ MS 雷管を直列にし
て発破電流を流した場合の波形であ
る。

Fig.4 は深さ 0.1 m の土中に雷管
と 5 g のダイナマイトを爆発させた
場合の波形で、雷管からコイルま
での距離は 0.3 m である。前と同様に
磁界ならびに磁気双曲子の強さを計算すると、 $H = 0.032 \text{ AT/m}, M = 0.07 \times 10^{-7} \text{ weber} \cdot \text{m}$ であ
る。

3. 考察

爆発の爆発に伴なう電気現象はきわめて複雑で、
その構造については明瞭かでない点が多いが、大
別して 2 つの現象が生ずるものと思われる。すな

むち、数 MHz 以上の高い周波数をもつ種々のプラズマ振動と、電離気体の移動による比較的周波数の
低い現象とである。いずれにしても、爆発時に生成される高温と衝撃波の作用で気体が電離され、プラ
ズマ状態が形成されることには間違いないようよう思われる。本実験で観測した波は数 kHz であることから、後者の現象に属するものである。一方、コイル面上に絶縁体の遮へい板を置いた場合
にも同様の波形が観測されるという補足実験から、この起電力は電離気体がコイル面と直接遭遇する
ために生じたものでないことができる。以上のことから、このような方法で得られた現象は、
爆発に付いて一種の文書磁界が発生し、誘導作用によつてコイルに起電力が生ずるものと考える
のがだとうのように思われる。この電磁界の発生はプラズマすなわち電導度の高い物質が瞬間に地
球磁場中に発生することによると考えられるが、この点に関しては今後の問題となることであろう。

参考文献

- (1) H. Kolsky : Nature, 173, 77 (1953)
- (2) T. Takakura : Pub. astro. Soc. Japan 7, 210 (1955)
- (3) 田中一三 : 工業化薬協会誌, Vol. 28, No. 4 (1967), Vol. 28, No. 6 (1968)
- (4) 吉田・入江・佐藤: 第 2 回岩の力学シンポジウム (1967)

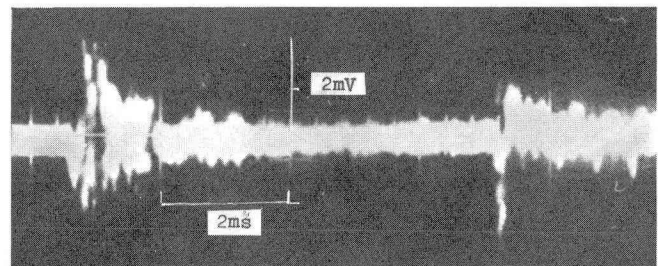


Fig.3 Signals of the ordinary cap and the MS cap

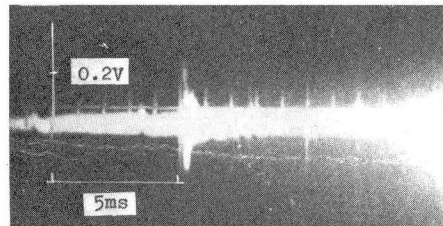


Fig.4 Typical oscillogram of explosion in the earth